

В.В. Астахов, Б.П. Безручко, В.И. Пономаренко,  
Е.П. Селезнев

## МУЛЬТИСТАБИЛЬНОСТЬ В СИСТЕМЕ РАДИОТЕХНИЧЕСКИХ ОСЦИЛЛЯТОРОВ С ЕМКОСТНОЙ СВЯЗЬЮ

Проведено экспериментальное исследование двух радиотехнических нелинейных колебательных контуров с емкостной связью при синфазном гармоническом возбуждении. Установлены особенности эволюции мультистабильных состояний, обусловленные характером связи. Построена простая математическая модель в виде точечного отображения.

Взаимодействующие системы с небольшой размерностью фазового пространства и универсальными переходами к хаосу привлекают внимание при решении многих задач нелинейной физики. Два взаимодействующих осциллятора, цепочки односторонне связанных генераторов, решетки связанных отображений используются в качестве простейших моделей при изучении таких нелинейных явлений, как взаимная синхронизация стохастических движений [1, 2], пространственные бифуркции развития хаоса [3, 4], образование и развитие структур [5, 6]. В данной работе на системе двух нелинейных радиотехнических осцилляторов с универсальной фейгенбаумовской динамикой рассматривается явление мультистабильности — существования в фазовом пространстве множества аттракторов<sup>1</sup>. В работах [8, 9] предложена классификация колебательных состояний и выявлен механизм формирования мультистабильности в такой системе при резистивной связи. Цель предлагаемого исследования — рассмотрение особенностей возникновения мультистабильности при емкостном характере связи и построение простой математической модели.

Экспериментальная система представляла собой два радиотехнических колебательных контура с полупроводниковыми диодами, нелинейность которых обусловлена свойствами *p*-*n*-перехода. Контуры возбуждались синфазно<sup>2</sup> гармоническими сигналами одной амплитуды через развязывающие усилители от общего внешнего генератора. Взаимная емкостная связь осуществлялась с помощью переменного конденсатора, включенного между идентичными точками контуров. Динамика системы исследовалась в зависимости от амплитуды внешнего воздействия *V* и коэффициента связи *K*, равного емкости конденсатора связи, при фиксированном значении частоты внешнего воздействия, близкой к частоте линейного резонанса. Пределы изменения *V* были ограничены интервалом значений, в котором в одиночном контуре имеет место переход к хаосу через последовательность бифуркаций удвоения периода одного из выделенных циклов. Диагностика колебательных режимов проводилась по временным реализациям, фазовым портретам, стробоскопическим сечениям и спектрам мощности.

Многообразие колебательных состояний исследуемой системы двух идентичных контуров может быть описано с помощью классификации [8, 9], основанной на следующих представлениях. Очевидно, что в пределе  $K \rightarrow 0$  каждый из режимов периода  $2^n T$  (где *T* — период внешнего воздействия,  $n = 0, 1, 2, 3, \dots$ ) может быть реализован  $2^n$  способами, различающимися времененным сдвигом *mT* между реализациями в первом и втором контурах,  $m = 0, 1, 2, \dots, 2^n - 1$ . В фазовом про-

<sup>1</sup> Системы, обладающие мультистабильными состояниями, вызывают интерес в связи с возможным их использованием в элементах памяти [7].

<sup>2</sup> При данном типе возбуждения система аналогична осцилляторам в однородном поле силового воздействия или в поле волны при расстоянии между осцилляторами, равном длине волны.

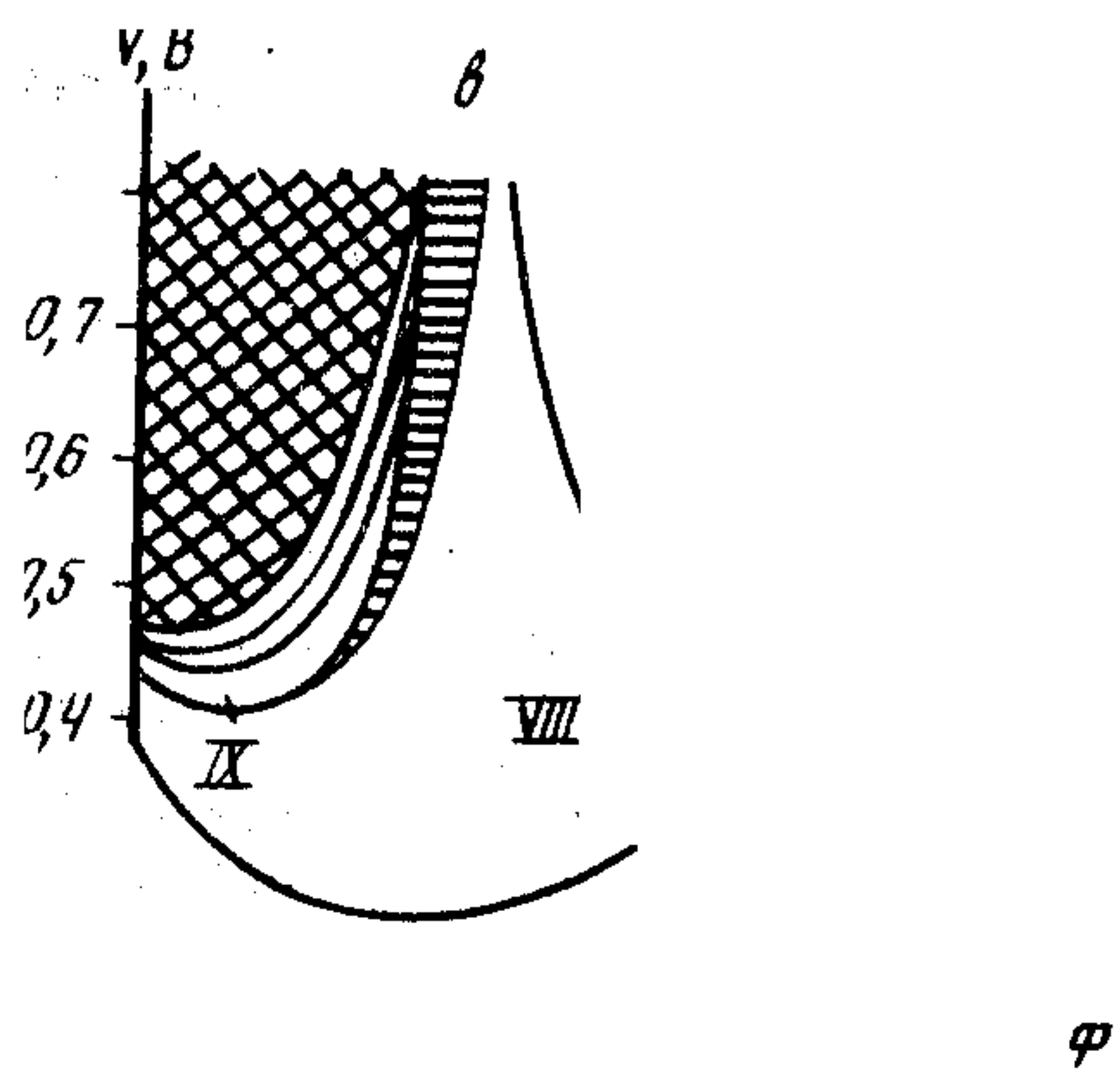
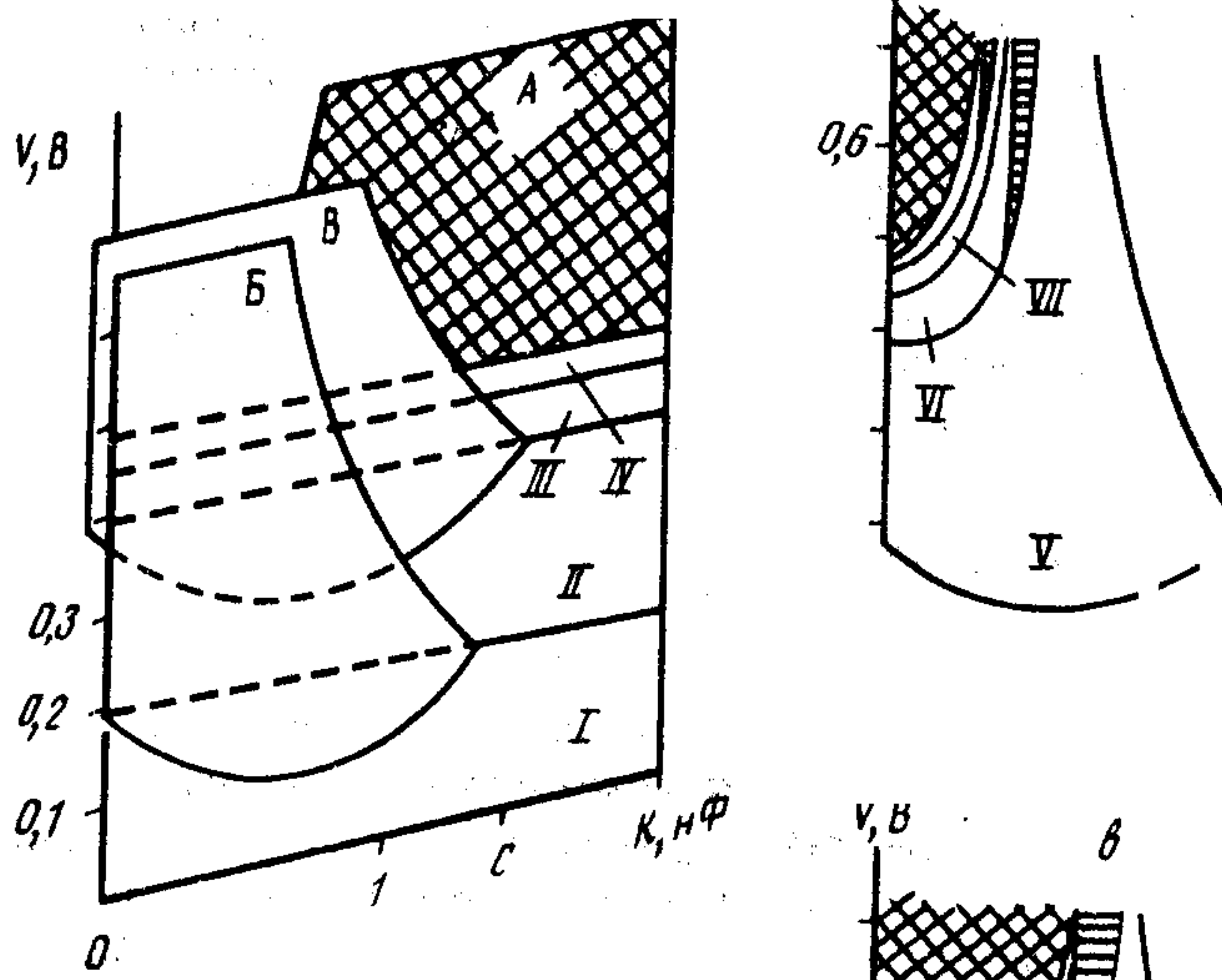


Рис. 1. Взаимное расположение (а) и структура листов несинфазных режимов (б, в); штриховкой отмечены области квазипериодических колебаний, двойной штриховкой – стохастических. Римскими цифрами отмечены режимы  $T^0$  (I),  $2T^0$  (II),  $4T^0$  (III),  $8T^0$  (IV),  $2T^1$  (V),  $4T^1$  (VI),  $8T^1$  (VII),  $4T^2$  (VIII),  $8T^2$  (IX).

странстве двух фейгенбаумовских систем при  $K = 0$  существуют  $2^n$  циклов периода  $2^n T$ , и их число удваивается после каждой бифуркации удвоения периода. Эти циклы являются базовыми при формировании фейгенбаумовских странных аттракторов и существуют в некотором интервале значений  $K > 0$ . Обозначим их  $2^n T^m$ ;  $m = 0$  соответствует синфазным циклам, а  $m \neq 0$  – несинфазным.

Рассмотрим рис. 1, где показана структура плоскости параметров ( $V, K$ ) исследуемой системы. Для наглядности ее удобно представить состоящей из нескольких листов А, Б, В, . . . (рис. 1, а). Лист А соответствует синфазным колебаниям, листы Б, В, . . . – несинфазным. На листах Б, В (рис. 1, б, в) приведены только режимы, последовательно сменяющие друг друга мягким образом; для изображения областей существования остальных несинфазных циклов необходимо ввести дополнительные листы. Мультистабильности соответствует взаимное "перекрытие" нескольких листов. Общая с [8, 9] система классификации колебательных режимов позволяет нам не останавливаться на описании деталей рисунка, а предложить заинтересованному читателю эти работы, где рассмотрен случай резистивной связи. С увеличением коэффициента связи число устойчивых состояний периода  $2^n T$  в системе уменьшается от  $2^n$  до 1. При больших значениях  $K$  (правее точки С на рис. 1) существуют только синфазные циклы, которые с ростом амплитуды внешнего воздействия претерпевают последовательность бифуркаций удвоения периода, завершающуюся возникновением синфазного хаоса. Но в случае малых  $K$  синфазные циклы  $2^n T^0$  не сменяют друг друга мягким образом. При бифуркации удвоения периода в окрестности потерявших устойчивость циклов  $T^0, 2T^0, 4T^0$  рождаются несинфазные циклы удвоенного периода  $2T^1, 4T^2, 8T^4$ , что соответствует на рис. 1 мягкому переходу на листы Б, В, . . .

Эволюция несинфазных режимов, родившихся из синфазы, происходит аналогично случаю резистивной связи: рождение тора и его разрушение, рождение двух симметричных циклов и их эволюция к хаосу через удвоение периода с характерными перестройками в закритической области (см. рис. 1 в работе [9], где для перехода к случаю емкостной связи надо поменять местами пунктир и сплошные линии в точках ветвления синфазной ветви). В области малых  $K$  выход на синфазные режимы можно осуществить, двигаясь по  $K$  из области больших значений или выбирая начальные условия.

Простейшей моделью двух связанных фейгенбаумовских систем являются квадратичные отображения вида

$$(1) \quad \begin{aligned} X_{n+1} &= \lambda - X_n^2 + k(X_n^2 - Y_n^2) + \mu(X_n - Y_n), \\ Y_{n+1} &= \lambda - Y_n^2 + k(Y_n^2 - X_n^2) + \mu(Y_n - X_n), \end{aligned}$$

где  $X_n, Y_n$  – динамические переменные,  $\lambda$  – параметр нелинейности,  $k, \mu$  – коэффициенты связи. В работе [10] на основании ренормгруппового анализа показано, что система (1) описывает все возможные виды связи между фейгенбаумовскими объектами. Однако это утверждение сделано для асимптотического предела, вблизи критической точки перехода к хаосу; кроме того, неясно, каким образом такая запись соотносится с физическими элементами связи между экспериментальными системами фейгенбаумовского типа. В работах [8, 9] при использовании экспериментальных результатов показано, что радиотехническим осцилляторам с резистивной связью соответствует случай  $\mu = 0$ . Поиск модели в виде (1), адекватной исследуемой системе с емкостной связью, проводили с помощью численного эксперимента, направленного на получение при подборе соотношений  $k$  и  $\mu$  качественного сходства динамики систем на плоскостях параметров  $(\lambda, k)$  и  $(V, K)$ . За критерии адекватности принимали: 1) существование всех циклов  $2^n T^m$ , квазипериодических и стохастических движений, зарегистрированных в эксперименте; 2) наличие при больших  $k$  последовательности бифуркаций удвоения периода синфазных циклов, завершающейся синфазным хаосом; 3) при малых  $k$  – рождение в окрестности потерявшего устойчивость синфазного цикла  $2^n T^0$  несинфазного  $2^{n+1} T^{2n}$ .

На рис. 2 на плоскости параметров  $(\lambda, k)$  построены линии, на которых обрашаются в “–1” первый и второй мультиплликаторы синфазных циклов  $T^0, 2T^0, 4T^0$  системы (1) в случае  $\mu = 1,8$  ( $k = 0,02$ ), на наш взгляд, наиболее удовлетворяющем принятым критериям<sup>3</sup>. Сплошные линии 1–3, параллельные осям абсцисс, соответствуют значениям параметров, при которых синфазные циклы претерпевают бифуркацию удвоения периода и в их окрестности рождаются синфазные циклы удвоенного периода. При пересечении линий 4–6 из синфазных циклов через удвоение возникают несинфазные  $2T^1, 4T^2, 8T^4$ . Для рассматриваемого случая больших  $k$  синфазные циклы теряют устойчивость на линиях 1–3, а при малых  $k$  существуют интервалы значений, где потеря устойчивости происходит на линиях 4–6.

Проследим эволюцию несинфазных режимов более подробно. При  $k = 0,005$  с увеличением  $\lambda$  цикл  $T^0$  теряет устойчивость, в его окрестности возникает устойчивый цикл удвоенного периода  $2T^1$ . Неустойчивый  $T^0$  на линии 1 претерпевает еще одну бифуркацию удвоения периода (второй мультиплликатор достигает значения –1), в его окрестности рождается неустойчивый синфазный цикл  $2T^0$ , который выше по параметру становится устойчивым. Из цикла  $2T^1$  в результате бифуркации Хопфа возникает тор, который жестко сменяется либо циклом  $4T^1$ , либо  $4T^3$ . Далее наблюдается последовательность бифуркаций удвоения

<sup>3</sup> Реализованы случаи  $\mu = F(k - b)$ ,  $F(k - b)^2 = D$ ,  $Fk$ , где  $F, b, D$  подбираемые константы.

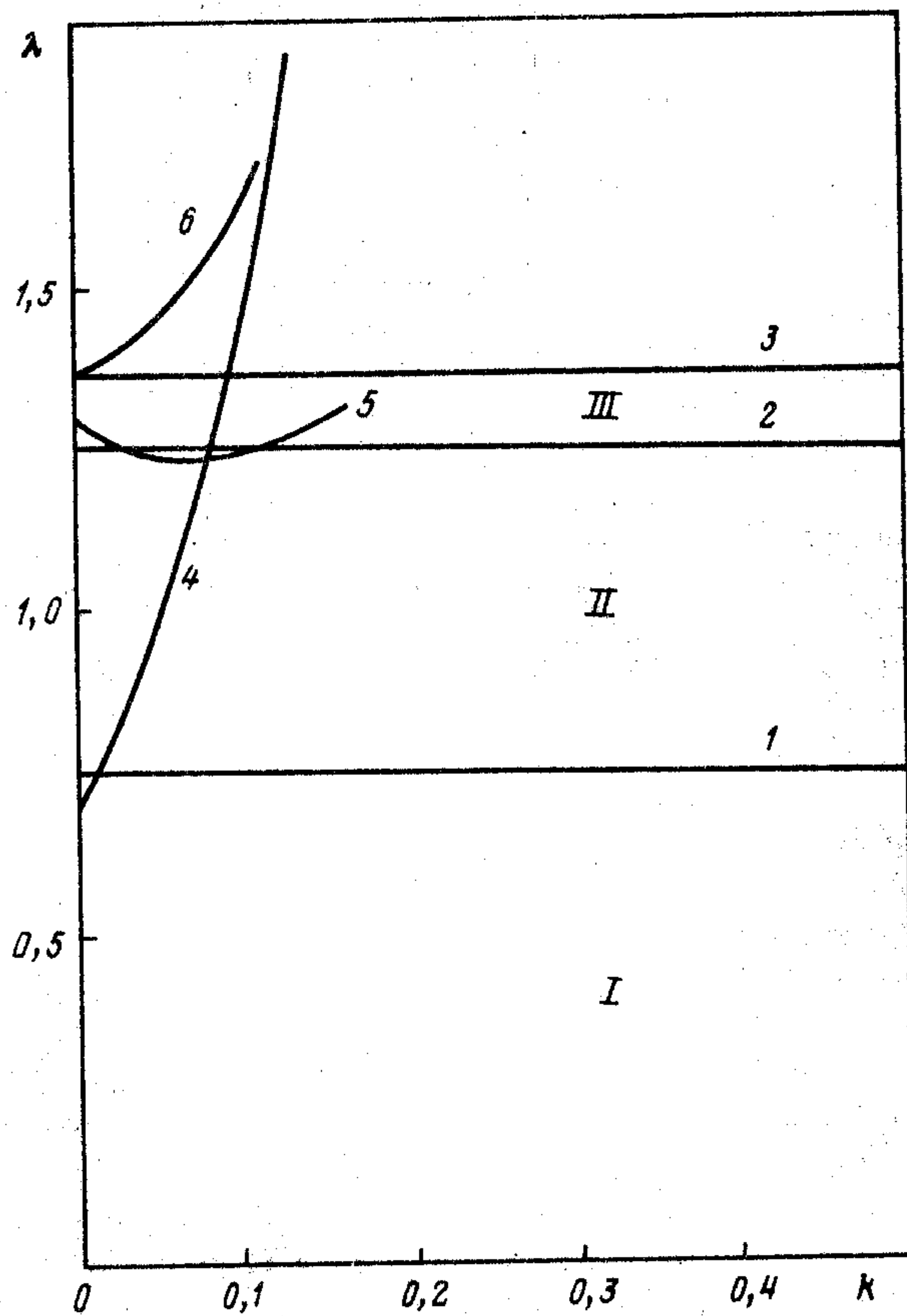


Рис. 2. Линия удвоения периода циклов  $T^0$  (I),  $2T^0$  (II),  $4T^0$  (III) системы (1) на плоскости параметров  $(\lambda, k)$

периода, сопровождаемая удвоением числа видов колебаний. В результате в окрестности критической точки формируется множество хаотических аттракторов. С увеличением надкритичности наблюдается последовательность слияния лент, причем в момент слияния происходит объединение двух "смежных" аттракторов, вплоть до формирования аттрактора, объединяющего все виды, порожденные исходным циклом.

Приведенные численные результаты свидетельствуют о достаточно хорошем соответствии результатам эксперимента и показывают особенности образования мультистабильности в системе с емкостной связью. Основные различия в динамике синфазно возбуждаемых осцилляторов с резистивной и емкостной связью заключаются в способе образования синфазных и несинфазных циклов при сохранении всего набора возможных колебательных режимов, причем простейшая математическая модель в виде (1) охватывает различные радиотехнические способы связи между подсистемами простым подбором соотношений диссипативной и инерционной составляющих (в терминах [10]) и достаточно хорошо отражает динамику связанных экспериментальных систем в широкой области значений параметров, а не только вблизи критической точки.

Выражаем признательность С.П. Кузнецову за полезное обсуждение работы.

## СПИСОК ЛИТЕРАТУРЫ

1. Афраймович В.С., Веричев Н.Н., Рабинович И.М. // Изв. вузов. Радиофизика. 1986. Т. 29. № 9. С. 1050.
2. Анищенко В.С., Постнов Д.Э. // Письма в ЖТФ. 1988. Т. 14. № 6. С. 569.
3. Анищенко В.С., Арансон И.С., Постнов Д.Э., Рабинович М.И. // Докл. АН СССР. 1986. Т. 286. № 5. С. 1120.
4. Кузнецов С.П., Пиковский А.С. // Изв. вузов. Радиофизика. 1985. Т. 28, № 5. С. 308.
5. Афраймович В.С., Некоркин В.И., Осипов Г.В., Шалфеев В.Д. Устойчивость, структуры и хаос в нелинейных сетях синхронизации / Под ред. Гапонова-Грехова А.В., Рабиновича М.И. Горький: ИПФ АН СССР, 1989.
6. Kaneko K. // Physica. 1989. V. 37D. N 1–3. P. 60.
7. Kaneko K. Collapse of Tori and Genesis of Chaos in Dissipative Systems. Singapore: World Scientific, 1986.
8. Астахов В.В., Безручко Б.П., Поморенко В.И., Селезнев Е.П. // Изв. вузов. Радиофизика. 1988. Т. 31. № 5. С. 627.
9. Астахов В.В., Безручко Б.П., Гуляев Ю.В., Селезнев Е.П. // Письма в ЖТФ. 1989. Т. 15. № 3. С. 60.
10. Кузнецов С.П. // Изв. вузов. Радиофизика. 1985. Т. 28. № 5. С. 991.

Поступила в редакцию  
30.07.90